

## - Mapas discretos

(1)

Vamos iniciar nossa discussão com o exemplo de um mapa unidimensional:

$$x_{n+1} = F(x_n) \quad [\text{intervalo de tempo discretos}]$$

$n=0, 1, 2, \dots$

$$x_1 = F(x_0); x_2 = F(x_1) \equiv F(F(x_0)) \equiv F^{(2)}(x_0),$$

dado um  $x_0$  nós iteramos para encontrarmos  $x_n$ . As pontas finas do mapa são

$$x = F(x) \quad [\text{ponto fixo } x]$$

Para estudar sua estabilidade, escrevemos  $x = x_n + \epsilon_n$  e expandimos para  $\epsilon_n$  pequeno:

$$F(x_n) = F(x - \epsilon_n) = F(x) - \epsilon_n F'(x) + \frac{1}{2} \epsilon_n^2 F''(x) + \dots,$$

com  $F'(x) = \frac{dF}{dx} \Big|_{x=x}$ .

-  $F'(x) \neq 0$  (desprezamos  $F''(x)$ )

$$F(x_n) - F(x) = -\epsilon_n F'(x)$$

$$x_{n+1} - x = -\epsilon_n F'(x)$$

" $x_{n+1} + \epsilon_{n+1}$ "

$$+ \varepsilon_{n+1} = + \varepsilon_n F'(x)$$

②

Se  $|F'(x)| < 1$  temos então que o erro diminui com sucessivas aplicações do mapa e temos uma convergência de primeira ordem para um atrator.

$$-F'(x) = 0 \text{ e } F''(x) \neq 0$$

$\varepsilon_{n+1} = -\frac{1}{2} F''(x) \varepsilon_n^2$ . Convergência de segunda ordem. Aqui sempre convergimos se começarmos nas vizinhanças do ponto fixo.  
Um exemplo é o método de Newton-Raphson:

$f(x) = 0$ ,  $x_{n+1} = x_n - f(x_n)/f'(x_n)$ . Cada uma das raízes possui uma bacia de atração e todas podem ser encontradas por escolhas cuidadosas do palpite inicial  $x_0$ .

O exemplo mais simples é o mapa linear:

$$x_{n+1} = r x_n \Rightarrow x_n = r^n x_0$$

- $0 \leq r < 1$ :  $x_n \rightarrow 0, \forall x_0$  [X=0 é assintoticamente estável]
- $r = 1$ :  $x_n = x_0, \forall x_0$  [Estado estacionário]

$$\cdot r > 1 : x_n = x_0 e^{rn \ln r} \quad [ \text{crescimento exponencial} ] \quad (3)$$

Vemos assim que a taxa  $r$  controla o destino da evolução temporal

### - Mapa logístico

Em um modelo ecológico queremos modelar, por exemplo, a evolução de uma população de uma certa espécie. Isto se torna conveniente medirmos o tempo de forma discreta, com o passo sendo dado pela distância entre gerações ( $\sim 30$  anos para humanos). O mapa linear possui essa característica, contudo ele leva à extinção e/ou crescimento exponencial. Um modelo um pouco mais realista é o mapa logístico:

$$x_{n+1} = r x_n - s x_n^2$$

esse é um mapa não linear:  $r \rightarrow$  taxa de reprodução  
 $s \rightarrow$  põe superpopulações (recursos finitos)  
É conveniente realizarmos a seguinte mudança de escala:

(4)

$x_n \rightarrow x_n \frac{r}{2}$ , donde vemos que

$$\frac{r}{2}x_{n+1} = \frac{r^2}{2}x_n - \frac{r^2}{2}x_n^2$$

$$x_{n+1} = rx_n(1-x_n),$$

Vemos que o modelo só depende do parâmetro  $r$ .

O interesse físico e biológico do modelo é limitado a  $x \in [0, 1]$ , com  $x=1$  sendo a população máxima.

Dara tal, devemos limitar  $0 \leq r \leq 4$ . Dara ver

esso, faça  $F(x) = rx(1-x)$ . A derivada do mapa é então  $F'(x) = r(1-2x)$ . Como

$F''(x) < 0$ , o ponto de máximo ocorre para  $x_{\max} = \frac{1}{2}$ .  $F(x_{\max}) = \frac{r}{4} \Rightarrow r \leq 4$ .

Existem dois pontos fixos no sistema ( $X = F(X)$ )

$$X = rX(1-X); X=0, X=1-\frac{1}{r}$$

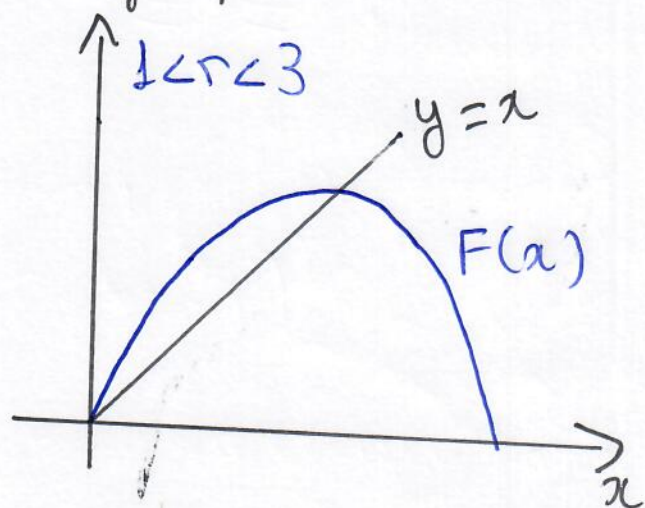
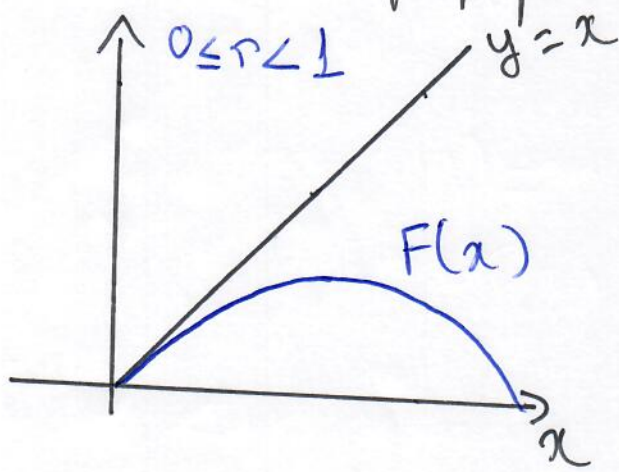
$$F'(X) = r(1-2X)$$

Os comportamentos do mapa logístico podem então ser resumidos como

•  $0 \leq r < 1$ :  $x=0$  é estável assintoticamente, (5)

$F'(0) = r$ , e  $x=1-\frac{1}{r}$  instável.  $x=0$  é um atrator: a população não se sustenta e é degredada.

•  $1 < r < 3$ :  $x=0$  é instável e  $x=1-\frac{1}{r}$  é assintoticamente estável,  $F'\left(1-\frac{1}{r}\right) = 2-r$ . O crescimento exponencial é estabilizado pela punição à superpopulação. Graficamente



•  $3 < r \leq 4$ :  $x=0$  e  $x=1-\frac{1}{r}$  são ambos instáveis. Na medida em que  $r$  aumenta, aparecem sucessivas bifurações de dobra de período

$\rightarrow 3 < r < 1 + \sqrt{6}$ : soluções de período 2

$X = F^{(2)}(x)$ . Polinômio de grau quatro, com soluções  $x=0, x=1-\frac{1}{r}$ , instáveis, e soluções não triviais  $x_1$  e  $x_2$  com  $F(x_1) = x_2$  e  $F(x_2) = x_1$ .

⑥

$$\rightarrow 1 + \sqrt{6} = 3.44949\ldots < r < 3.54409\ldots : \text{solução}$$

de período 4  $x = F^{(4)}(x)$

$$\rightarrow 3.54409\ldots < r < 3.56440\ldots : \text{solução de período 8}$$

$x = F^{(8)}(x)$  e assim por diante

$\rightarrow r = 3.56994\ldots$ : ponto de acumulação para o ciclo com período 2º.

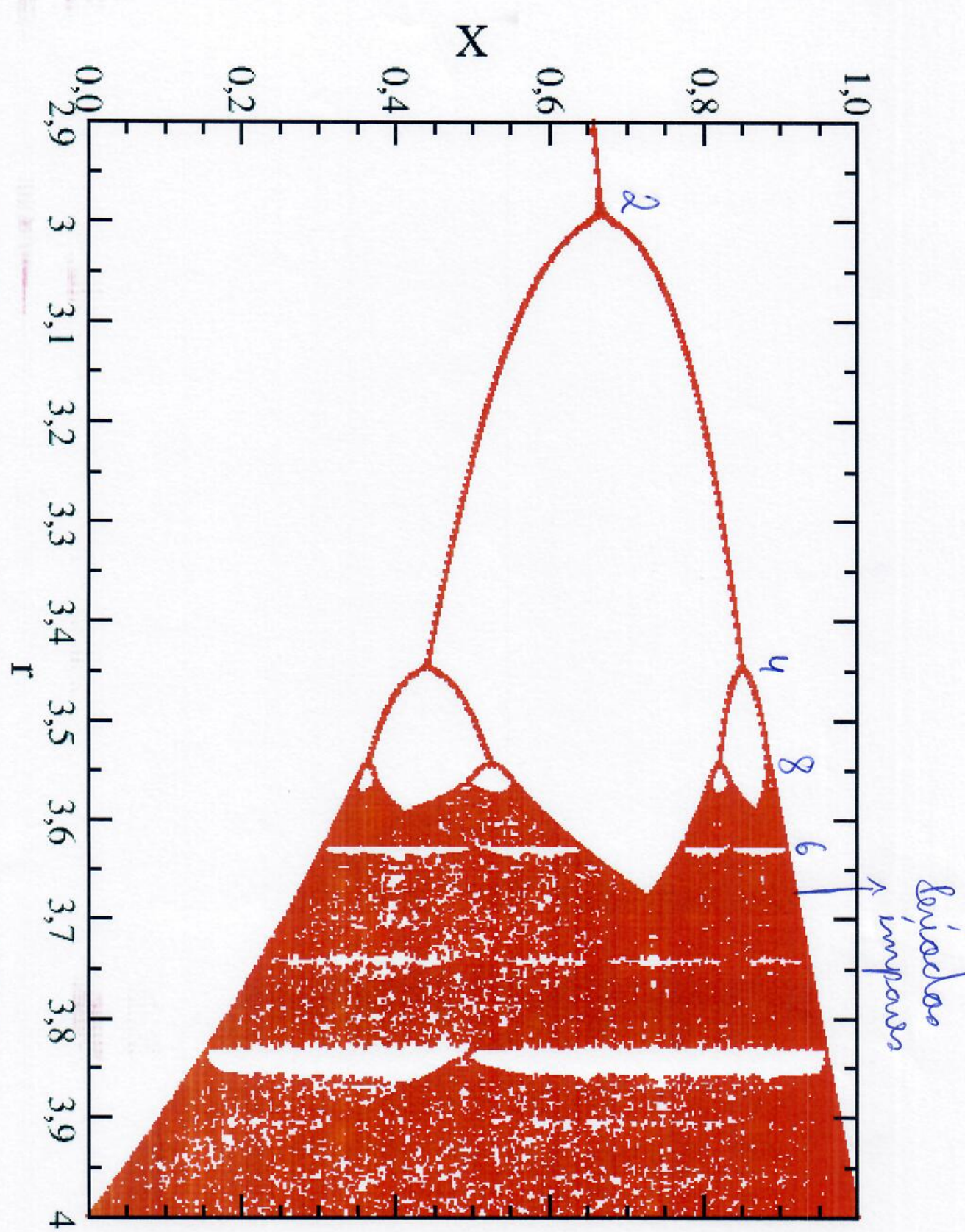
$\rightarrow 3.56994\ldots < r \leq 4$ : Região de caos determinístico.

Aqui, a série  $x_n$  nunca se repete para alguns valores de  $r$ , com  $x_n$  continuamente distribuído entre 0 e 1, de modo aparentemente aleatório. Para outros valores de  $r$  há ciclos assintóticos estáveis de diferentes períodos. Ciclos com período ímpar só surgem para  $r > 3.67857\ldots$

Os atratores para esse caso são mostrados na próxima página. Em 1975, Feigenbaum descobriu que as diferenças de período se dão de forma geométrica (independente do mapa) com

$$S = \lim_{i \rightarrow \infty} \frac{\tau_i - \tau_{i-1}}{\tau_{i+1} - \tau_i} = 4.66920\ldots$$

6a



(4)

U que podemos dizer acerca dos valores de  $\tau$  para os quais temos uma distribuição de valores em vez de ciclos estáveis? De modo geral, esse é um problema difícil, mas é possível avançarmos para  $\tau = 4$  com a substituição  $x_n = \sin^2(\pi \theta_n)$ , donde

$$\begin{aligned} \sin^2(\pi \theta_{n+1}) &= 4 \sin^2(\pi \theta_n) \left[ 1 - \frac{\cos^2(\pi \theta_n)}{\sin^2(\pi \theta_n)} \right] \\ &= \left[ 2 \sin(\pi \theta_n) \cos(\pi \theta_n) \right]^2 \\ &\quad \sin(2\pi \theta_n) \end{aligned}$$

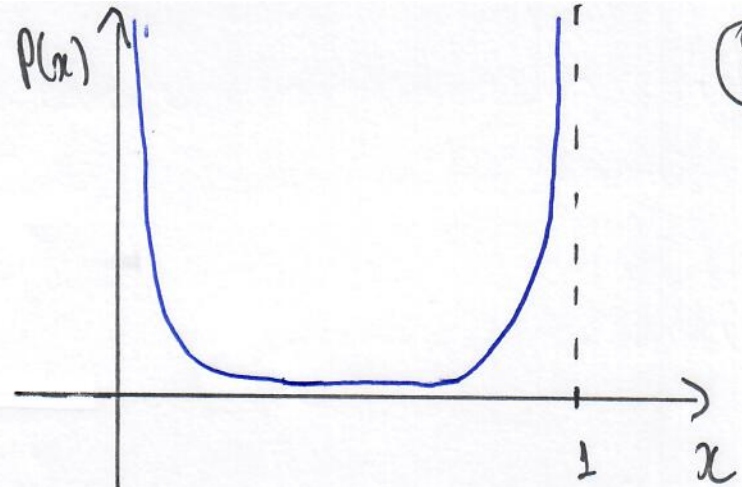
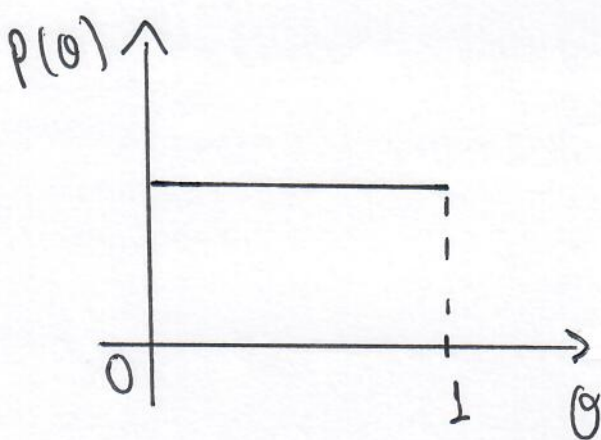
$$\Rightarrow \theta_{n+1} = 2\theta_n \text{ e assim } \theta_n = 2^n \theta_0.$$

Aque  $\theta$  é periódica com período 1, no sentido que tanto  $\theta$  quanto  $\theta+1$  geram o mesmo  $x$ . Assim, em cada iteração do mapa podemos desprezar a parte inteira de  $\theta_n$ . Isso faz com que para a maior parte das escolhas de  $\theta_0$  (irracional),  $\theta_n$  seja distribuído uniformemente no intervalo  $[0, 1]$ .

Como  $\theta$  é uniforme,  $x$  não é uniforme, pois

$$x = \sin^2(\pi \theta)$$

(8)



$P(x) = 1 / [\pi \sqrt{x(1-x)}] \rightarrow$  atrator! Ilustração de probabilidade invariante.

Baseado na discussão do mapa linear, vamos assumir duas condições iniciais próximas  $x_0$  e  $x_0 + \varepsilon_0$ , com  $\varepsilon_0 \ll 1$ , e vamos escrever

$$\varepsilon_n \approx \varepsilon_0 e^{\lambda n}, \lambda \rightarrow \text{exponente de Lyapunov}$$

$\lambda > 0$  (diverge),  $\lambda < 0$  (converge)

Uma vez que queremos saber se a diferença inicial é amplificada ou suprimida.

Como nós temos  $\varepsilon_0 e^{\lambda n} = |F^{(n)}(x_0 + \varepsilon_0) - F^{(n)}(x_0)|$ ,

podemos escrever:

$$\lambda = \frac{1}{n} \ln \left[ \frac{|F^{(n)}(x_0 + \varepsilon_0) - F^{(n)}(x_0)|}{\varepsilon_0} \right] \approx \frac{1}{n} \ln \left[ \left| \frac{d}{dx} F^{(n)}(x) \right| \right]$$

no limite  $n \rightarrow \infty$  (ponto fino)

Veamos agora avaliar a derivada da (9)  
 $n$ -ésima aplicação do mapa.

$$- n = 2$$

$$\begin{aligned} \frac{d}{dx} F^{(2)}(x_0) &= \frac{d}{dx} F(F(x_0)) = F'(\underbrace{F(x_0)}_{x_1}) F'(x_0) \\ &= F'(x_1) F'(x_0) \end{aligned}$$

Continuando o processo é fácil ver que:

$$\frac{d}{dx} F^{(n)}(x_0) = \prod_{i=0}^{n-1} F'(x_i), \text{ donde}$$

$$\lambda = \lim_{m \rightarrow \infty} \left\{ \frac{1}{m} \sum_{i=0}^{m-1} \ln |F'(x_i)| \right\}$$

No nosso caso, temos  $F'(x) = r(1-2x)$  e assum:

- $0 < r < 1$ :  $\lambda = \ln r$ , ( $x=0$ )
- $1 < r < 3$ :  $\lambda = \ln |2-r|$ , ( $x=1-\frac{1}{r}$ )
- $3 < r < 1+\sqrt{6}$ :  $\lambda = \ln |r(1-2x_1)| + \ln |r(1-2x_0)|$ ,  
 o que leva a uma divergência com  $r = 1+\sqrt{5}$  onde  
 $x_1 = \frac{1}{2}$
- $r = 4$ :  $P(x) = \frac{1}{[\pi \sqrt{x(1-x)}]}$  donde

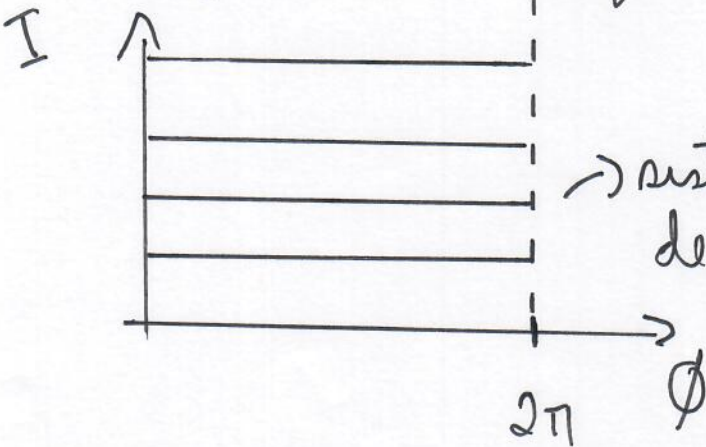
$$\lambda = \int_0^1 \ln |F'(x)| P(x) dx = \int_0^1 \frac{\ln |4(1-2x)|}{\pi \sqrt{x(1-x)}} dx = \ln 2 = 0.693144\dots$$

- Mapa padrão

Como um exemplo de um mapa 2D, vamos ver brevemente o mapa padrão. Sua inspiração mecânica é o "rotor chutado". Quando livre, temos:

$$\ddot{I} = \frac{I^2}{\dot{\theta}}, \quad \dot{\theta} = I \quad (\text{Momento de inércia } m=1)$$

$I \rightarrow$  ação,  $\dot{\theta} \rightarrow$  ângulo,  $m \rightarrow$  momento de inércia = 1



→ sistema integrável. Espaço de fase é um cilindro.

Agora damos um impulso periódico (chute) ao sistema com período  $T$  e  $w = 2\pi/T$

com  $\Delta I \propto \sin \theta$  (impulso). O sistema não é mais autônomo e integrável. É conveniente estudar as variáveis de ação e ângulo após o n-ésimo chute:

$$\begin{cases} \dot{\theta}_{n+1} = \theta_n + I_{n+1} \\ I_{n+1} = I_n + K \sin \theta_n \end{cases} \quad \text{Mapa padrão}$$

$\theta_{n+1} = \theta_n + I_{n+1}$

O parâmetro  $K$  é uma medida da não linearidade do sistema e representa também a quebra de integrabilidade. (11)

Podemos rescrever esse mapa da seguinte forma mais geral

$$\begin{cases} \dot{\theta}_{n+1} = F[\theta_n, I_n] (= \dot{\theta}_n + I_n + K \sin \theta_n) \\ I_{n+1} = G[\theta_n, I_n] (= I_n + K \sin \theta_n) \end{cases}$$

E buscamos pelos pontos fixos do mapa

$\dot{\theta} = F[\theta, I]$  e  $I = G[\theta, I]$ , donde

$$\begin{cases} \dot{\theta} = \dot{\theta} + I \Rightarrow I = 0 \\ I = I + K \sin \theta \Rightarrow \theta = 0 \text{ ou } \pi \end{cases}$$

Pontos fixos  $(0,0)$  e  $(\pi, 0)$ . Para estudarmos a estabilidade, expandimos o mapa ao redor dos pontos fixos:

$$\begin{pmatrix} \dot{\theta}_{n+1} - \dot{\theta} \\ I_{n+1} - I \end{pmatrix} \approx M \begin{pmatrix} \theta_n - \theta \\ I_n - I \end{pmatrix}, \quad M = \begin{bmatrix} \frac{\partial F}{\partial \theta_n} & \frac{\partial F}{\partial I_n} \\ \frac{\partial G}{\partial \theta_n} & \frac{\partial G}{\partial I_n} \end{bmatrix}$$

avaliado no  
ponto fixo

Temos agora um mapa linear que vai para zero, ou seja  $\phi_{n+1} = \emptyset$  e  $I_{n+1} = I$ , apenas se os autovalores de  $M$  possuem módulo menor que 1 tal que  $\lim_{n \rightarrow \infty} M^n = 0$ .

$$\cdot M(0,0) = \begin{bmatrix} 1+k\cos(0) & 1 \\ k\cos(0) & 1 \end{bmatrix}$$

$$(\lambda - 1 - k)(\lambda - 1) - k = 0$$

$$-\lambda + 1 + k + \lambda^2 - \lambda - k\lambda - k = 0$$

$$\lambda^2 - \lambda(k+2) + 1 = 0 \Rightarrow \lambda_{\pm} = \frac{1}{2} [2+k \pm \sqrt{k(4+k)}]$$

Claramente,  $\lambda_+ \geq 1$  sempre e esse ponto fixo é instável

$$\cdot M(\pi,0) = \begin{bmatrix} 1-k & 1 \\ -k & 1 \end{bmatrix}, \quad \lambda_{\pm} = \frac{1}{2} [2-k \pm \sqrt{k(k-4)}]$$

Se  $k > 4$ , temos que  $|\lambda_-| > 1$  e esse ponto é instável

para  $0 < k < 4$   $\lambda_{\pm} = 1 - k/2 \pm i\sqrt{k(4-k)}$  e temos

$$|\lambda_{\pm}| = 1 + k^2/4 - k - k^2/4 + k = 1$$

Então esse seja um caso limitrophe,  
esse ponto é estável. O jeito mais simples de  
vermos isso é por meio da solução numérica.  
Vejam o notebook do Mathematica em anexo

(13)